

Nonlinear Finite Element Method (Spring 2024)

Mid-term Project

Student Name: Puhan Zhang
Student ID: 2301213175

一、项目说明

本项目是北京大学 2024 春非线性有限元方法（Nonlinear Finite Element Methods）课程的作业。通过完善 matlab 程序，学习小变形问题下的采用有限元方法对线弹性材料的求解过程。

本案例研究梯形板的平面应力问题，如图 1。梯形板左侧固定在墙面上，顶侧被施加均匀分布的外应力。通过本程序能求解梯形板在此外力作用下，各点的位移及内应力。

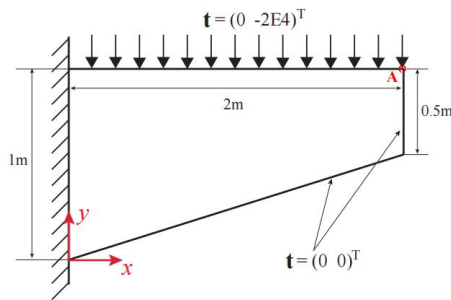


图 1 梯形板的平面应力问题

二、程序结构

(1) main.m

程序流程图如图 2。

首先通过 generate_mesh 编号结点与网格。然后按两条线分别计算 K 矩阵和 F 矢量。

第一条线计算 K 矩阵：先通过 g_center 计算网格的重心坐标和网格面积，然后通过 B_matrix 计算 B 矩阵，再通过 K_matrix 计算 K 矩阵。

第二条线计算 F 矢量：先通过 Boundary_conditions 解析边界条件，再通过 F_vector 计算各结点上的外力即 F 矢量。

通过 Enforce_BC，采用划 0 置 1 法，按照位移边界条件处理 K 矩阵和 F 矢量。然后通过 $u = K/F$ 计算各点应变。然后通过 constitutive 计算各点应力。

为了使结果直观，需要绘图。通过 generate_mesh 生成网格后，使用 triplot 和 quadplot 分别绘制三角形与四边形网格。程序计算出结果后，通过 plot_results 绘制梯形板的形变和应力分布。

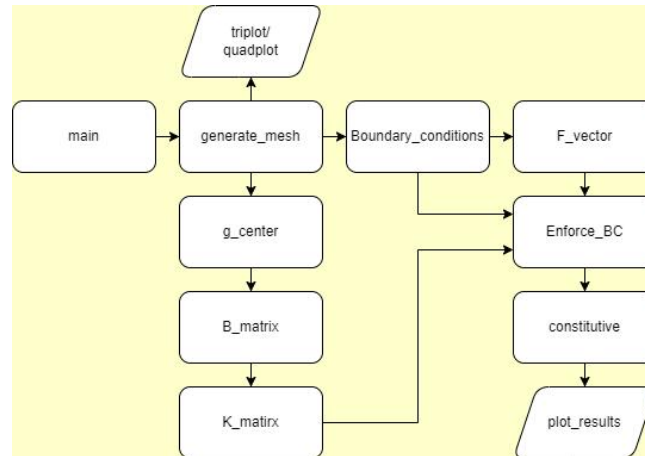


图 2 程序流程图

(2) generate_mesh.m

第一步是给梯形板划分网格。网格分为三角形网格和四边形网格两种。

划分网格，首先在梯形板中划分结点，结点相连形成网格。网格可以被表示为结点的集合。三角形网格包含 3 个结点，四边形网格包含 4 个结点，NNE 边形网格包含 NNE 个结点。

如图 3，结点按行列有规律地排布与编号。结点的编号记作 `id_nodes`，编号规定如下：编号从 1 开始，以梯形板左上方的点为 1 号结点，按先从左到右再从上到下的顺序编号，最后编号的结点是梯形板右下方的点。结点一共有 j 行 k 列，共有 $\text{nodes}=j*k$ 个结点，即 `id_nodes` 的取值范围为从 1 到 `nodes` 的正整数。

对于四边形网格。将结点按行列方向连线，共获得 $\text{elements}=(j-1)*(k-1)$ 个网格。四边形网格的编号方式，遵循先从左到右再从上到下的顺序。对于三角形网格，可以先划分出四边形网格，然后每个四边形用一条对角线将其划分为两个三角形，共获得 $\text{elements}=2*(j-1)*(k-1)$ 个网格。三角形网格的编号方式和四边形网格类似，也遵循先从左到右再从上到下的顺序。

函数 `generate_mesh` 的作用是计算各结点坐标，计算网格与结点的关系。会生成两个数组 `x_a` 和 `elem`。`x_a` 是 $[\text{nodes} \times \text{dim}]$ 的数组，存储所有 `nodes` 个结点每个结点的坐标。`dim` 是坐标的维度，本案例是平面问题所以 $\text{dim}=2$ （空间问题 $\text{dim}=3$ ）。`elem` 是 $[\text{elements} \times \text{NNE}]$ 的数组，存储所有 `elements` 个网格每个网格包含的结点的编号。三角形网格包含 3 个结点所以 $\text{NNE}=3$ ，四边形网格包含 4 个结点所以 $\text{NNE}=4$ 。

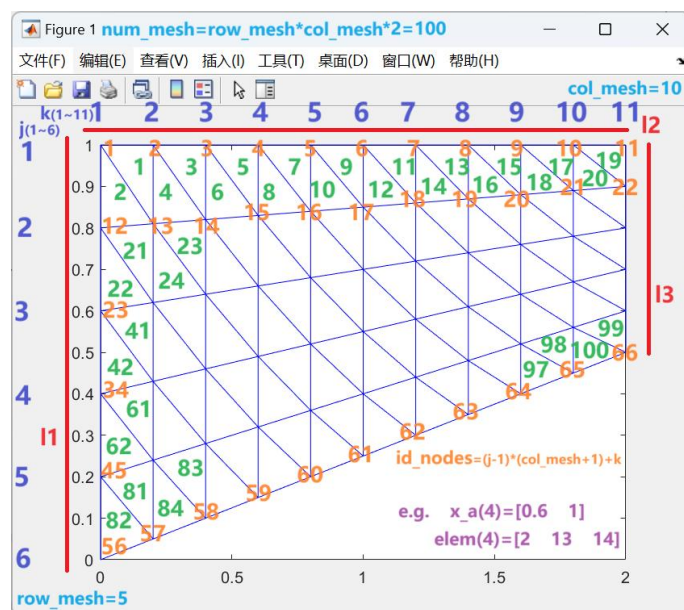


图 3 结点与网格的编号方式

(3) g_center.m

函数 `g_center` 的作用是计算每个网格的重心坐标和网格面积。会生成两个数组 `xg` 和 `Area`。`xg` 是 `[elements×dim]` 的数组，存储所有 `elements` 个网格每个网格的重心坐标。`Area` 是 `[elements×1]` 的数组，存储所有 `elements` 个网格每个网格的面积。

多边形的重心坐标，就是各顶点坐标的均值。

已知三角形三个顶点的坐标，就能计算三角形的面积，如图 4。

若三角形 3 个顶点坐标为： $(x_1, y_1), (x_2, y_2), (x_3, y_3)$ ，

则三角形的面积为： $Area = \left| \frac{1}{2} (x_1 y_2 + x_2 y_3 + x_3 y_1 - x_1 y_3 - x_3 y_2 - x_2 y_1) \right|$

四边形的面积可以拆分成两个三角形相加，因此若四边形 4 个顶点坐标为：
 $(x_1, y_1), (x_2, y_2), (x_3, y_3), (x_4, y_4)$ ，

则四边形的面积为： $Area = \left| \frac{1}{2} (x_1 y_2 + x_2 y_3 + x_3 y_1 - x_1 y_3 - x_3 y_2 - x_2 y_1) \right| + \left| \frac{1}{2} (x_1 y_4 + x_4 y_3 + x_3 y_1 - x_1 y_3 - x_3 y_4 - x_4 y_1) \right|$

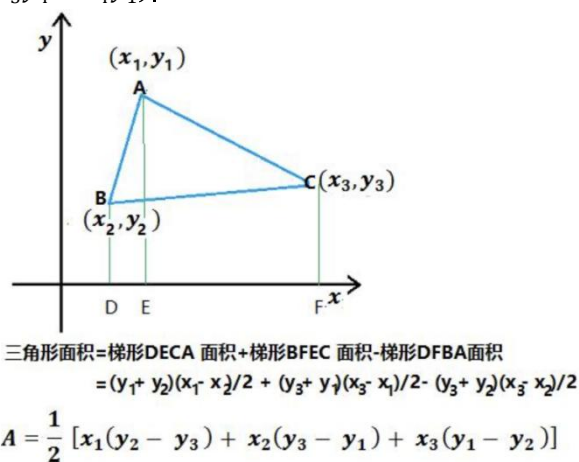


图 4 三角形顶点坐标计算三角形面积

(4) Boundary_conditions.m

函数 B_conditions 负责解析边界条件。

边界条件分为位移边界条件和应力边界条件，分别存储在 A 矩阵和 B 矩阵中。

A 矩阵是[a×4]的，表示有 a 个位移边界条件。B 矩阵是[b×2]的，表示有 b 个应力边界条件。本案例中，两种边界条件各只有一个，因此 a=1 且 b=1。

函数 displa 负责解析位移边界条件即 A 矩阵，返回两个均为[dim*nodes×1]的矩阵 boundary 和 disp。boundary 存储各结点的各坐标维度是否受限制，disp 存储各结点的各个坐标维度是否有固定的位移。

函数 dist 负责解析应力边界条件即 B 矩阵，返回一个[2*nodes×1]的矩阵 l_area。l_area 存储各结点各轴向占据的边界长度。

(5) B_matrix.m

函数 B_matrix 负责计算 B 矩阵。

B 矩阵的计算公式：

$$\mathbf{B}(q) = \begin{pmatrix} \frac{\partial N_I^{(q)}}{\partial x} & 0 & \frac{\partial N_J^{(q)}}{\partial x} & 0 & \dots & \frac{\partial N_K^{(q)}}{\partial x} & 0 \\ 0 & \frac{\partial N_I^{(q)}}{\partial y} & 0 & \frac{\partial N_J^{(q)}}{\partial y} & \dots & 0 & \frac{\partial N_K^{(q)}}{\partial y} \\ \frac{\partial N_I^{(q)}}{\partial y} & \frac{\partial N_I^{(q)}}{\partial x} & \frac{\partial N_J^{(q)}}{\partial y} & \frac{\partial N_J^{(q)}}{\partial x} & \dots & \frac{\partial N_K^{(q)}}{\partial y} & \frac{\partial N_K^{(q)}}{\partial x} \end{pmatrix} \quad \text{for } q \in 1, 2, \dots, M$$

对于平面问题，B 矩阵是[3×2*NNE]的。对于空间问题，B 矩阵是[6×3*NNE]的。本案例是平面问题，因此三角形网格的 B 矩阵是[3×6]的，四边形是[3×8]的。

(6) K_matrix.m

函数 K_matrix 负责计算 K 矩阵。

K 矩阵是[dim*nodes×dim*nodes]的。

首先要计算出单个网格的 K_e 矩阵，编号为 i 的网格的 $K_e(i)$ 矩阵为：

$$K_e(i) = \int B^T C B dV = B^T C B * \text{Area}(i)$$

其中，B 矩阵已由函数 B_matrix 计算出，其对于每个网格都是一样的。Area(i)已由函数 g_center 计算出。C 矩阵是平面应力下的刚度矩阵，已知杨氏模量 E 和泊松比ν，各向同性材料的刚度矩阵可以很容易地求出：

$$\mathbf{C} = \frac{E}{1-\nu^2} \begin{pmatrix} 1 & \nu & 0 \\ \nu & 1 & 0 \\ 0 & 0 & \frac{1-\nu}{2} \end{pmatrix}$$

单个网格的 K_e 矩阵是[2*NNE×2*NNE]的，即三角形网格是[6×6]的，四边形是[8×8]的。将[2*NNE×2*NNE]的 K_e 矩阵映射到[dim*nodes×dim*nodes]的 K'_e 矩阵。 K'_e 矩阵与 K_e 矩阵对应的结点的值是一样的，其它值置零。

加和各网格的 K'_e 矩阵得到 K 矩阵：

$$\mathbf{K} = \sum_{i=1}^{\text{elements}} \mathbf{K}'_e(i)$$

计算得到的 K 矩阵的非零值呈“三条平行等距的带状”分布。图 5 是网格单元为 200 的三角形网格的 K 矩阵（已由下述划 0 置 1 法调整过），可以明显地观察到 K 矩阵的非零值呈“三条带状”分布。

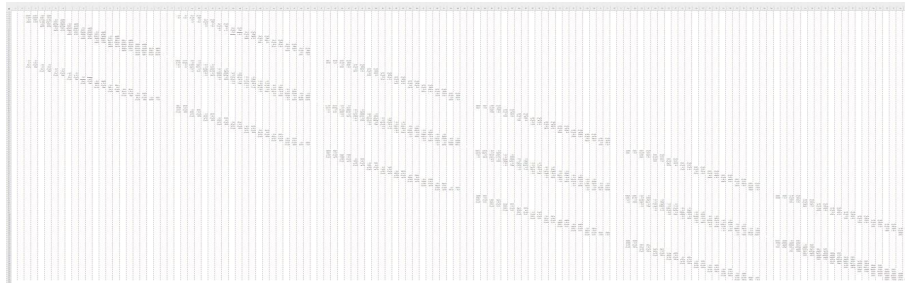


图5 网格单元为200的三角形网格的K矩阵

(7) F_vector

函数 F_vector 负责计算各结点上的外力。返回一个 $[dim*nodes \times 1]$ 的矩阵 F，储存各结点各轴向受到的外力。

该结点该方向上的外力，等于该结点该方向上的外应力乘该结点该方向占据的边界长度：

$$F(i) = \sigma \cdot l_{area}(i)$$

本案例施加的应力为：

$$\sigma = -Load = -2 \times 10^4 \text{ N/m}$$

(8) Enforce_BC

函数 Enforce_BC 负责处理位移边界条件，对 K 矩阵和 F 矩阵进行调整。

一种常用的方法是划 0 置 1 法。对于固定位置的位移边界条件，将固定的结点坐标对应的 K 矩阵的行列的元素置 0，然后将对应的对角线元素置 1，同时，将对应的 F 矩阵的元素置 0。

划 0 置 1 法保证了固定的结点坐标的位移始终为零，因此可以成功利用位移边界条件。

(9) 计算各点应变

在完成 K 矩阵和 F 矩阵的计算后，就能获得各结点各坐标的位移了。

位移矩阵是 $[dim*nodes \times 1]$ 的矩阵 u：

$$u = K/F$$

(10) 计算各点应力

函数 constitutive.m 负责利用计算出来的各点应变，计算各点应力。

三、结果分析

(1) 两类网格

(a) 三角形网格下的应力分布

运行程序，分别计算网格单元数为 2，100 和 2000 的应力分布。

网格变形和应力分布如图 6 和图 7。

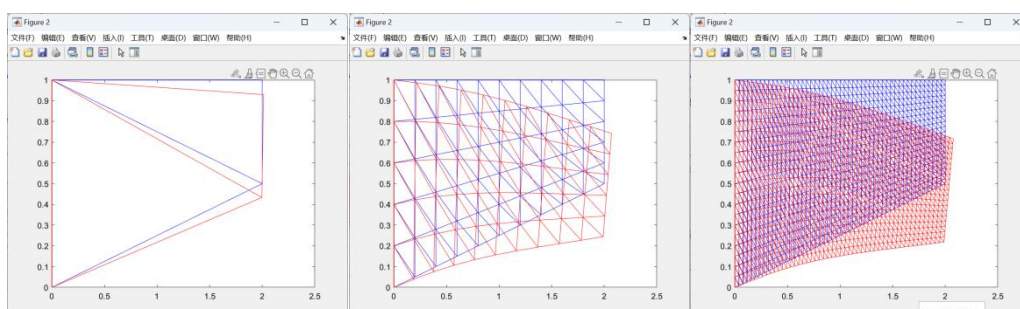


图 6 三角形网格单元数为 2, 100 和 2000 的网格变形

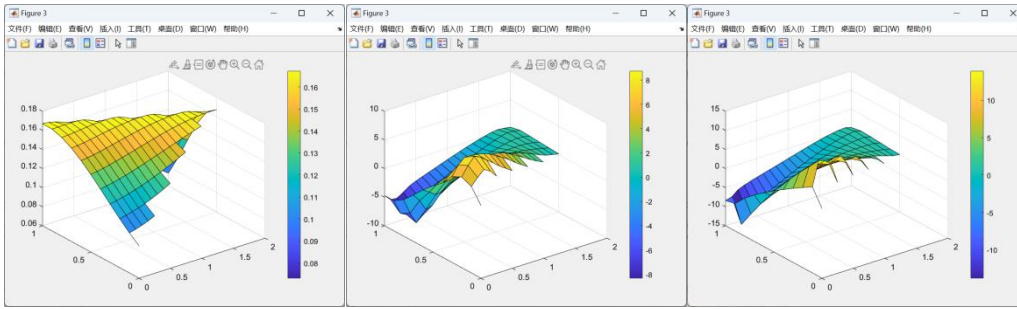


图 7 三角形网格单元数为 2, 100 和 2000 的应力分布

可以看出, 三种网格数计算出的应力结果差别非常大。网格单元数 2 太少, 计算的精度太低, 应力分布并不符合实际情况。单元数 100 的应力分布的曲面趋势是正确的, 但是精确度依然不足。单元数 2000 的网格密集, 能很直观细致地反映梯形板的变形, 应力分布贴合实际情况。

(b) 四边形网格下的应力分布

运行程序, 分别计算网格单元数为 1, 50 和 1000 的应力分布。

网格变形和应力分布如图 8 和图 9。

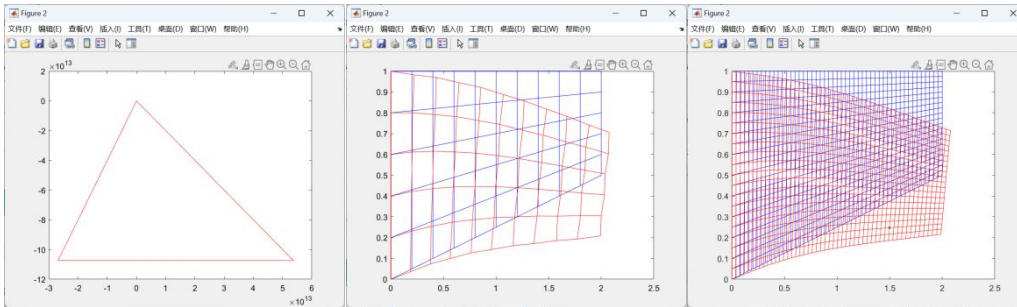


图 8 四边形网格单元数为 2, 100 和 2000 的网格变形

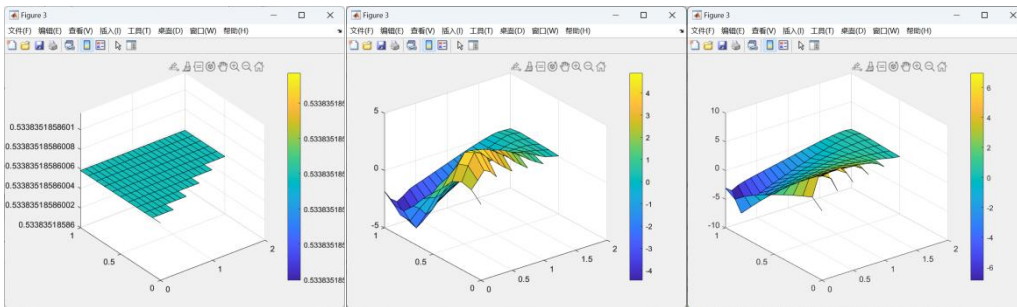


图 9 四边形网格单元数为 2, 100 和 2000 的网格变形

同三角形网格的分析结果, 三种四边形网格数计算出的应力结果差别非常大。网格单元数 1 得出的应力分布完全不符合实际情况。甚至计算得到的梯形板右上角的位移完全错误, 以至无法正确画出变形后的网格。单元数 1000 的网格密集, 直观细致, 贴合实际情况。

(c) 两类网格的收敛率

(c1) 三角形网格

针对梯形板的 A 点进行考察, 如图 1, A 点是梯形板右上角的点。

如表 1, 划分不同密集程度的网格, 计算得到的 A 点沿 y 轴的应变值。

表 1 三角形网格 A 点沿 y 轴的应变值

elements	row_mesh	col_mesh	$h = l_2/col_mesh$	id_nodes _A	$u_y(x_A, y_A)$
2	1	1	2	4	-0.007041
20	2	5	0.4	12	-0.018962
100	5	10	0.2	22	-0.025767
400	10	20	0.1	42	-0.027731
1024	16	32	0.0625	66	-0.028190
2000	20	50	0.04	102	-0.028329
4096	32	64	0.03125	130	-0.028425
10000	50	100	0.02	202	-0.028474
25600	80	160	0.0125	322	-0.028496
40000	100	200	0.01	402	-0.028501

随着网格的密集，即随着网格大小指标 h 的减小，A 点沿 y 轴的应变值 u_h 逐渐收敛于固定值 $u = -0.0285m$ 。

收敛率： $\|e_h\|_1 = \|u - u_h\|_1 \leq ch^k$ ，满足 $\lim_{h \rightarrow 0} \|u - u_h\|_1 = 0$

可得： $\log \|u - u_h\|_1 = \log c + k \log h$

表 2 是收敛率的表格。

表 2 三角形网格应变值的收敛

h	$\log h$	u_h	$\ e_h\ _1 = \ u - u_h\ _1$	$\log \ e_h\ _1$
2	0.693147	-0.007041	0.021459	-3.841596
0.4	-0.916291	-0.018962	0.009538	-4.652470
0.2	-1.609438	-0.025767	0.002733	-5.902361
0.1	-2.302585	-0.027731	0.000769	-7.170190
0.0625	-2.772589	-0.028190	0.000310	-8.078003
0.04	-3.218876	-0.028329	0.000171	-8.675706
0.03125	-3.465736	-0.028425	0.000075	-9.497026
0.02	-3.912023	-0.028474	0.000026	-10.564901
0.0125	-4.382027	-0.028496	0.000004	-12.456780
0.01	-4.605170	-0.028501	0.000001	-13.470315

如图 10，拟合函数，得到公式： $\log \|u - u_h\|_1 = -3.5772 + 1.8322 \log h$

k 取整数，得到： $k = 2$

因此： $\|u - u_h\|_1 \leq ch^2$

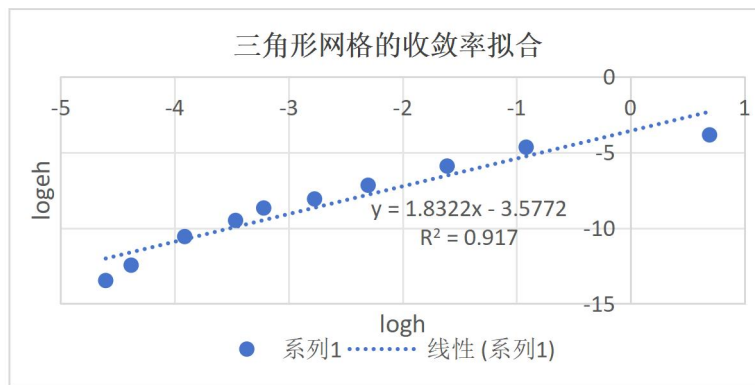


图 10 三角形网格的收敛率拟合

(c2) 四边形网格

如表 3，划分不同密集程度的网格，计算得到的 A 点沿 y 轴的应变值。

表 3 四边形网格 A 点沿 y 轴的应变值

<i>elements</i>	<i>row_mesh</i>	<i>col_mesh</i>	$h = l_2/col_mesh$	<i>id_nodes_A</i>	$u_y(x_A, y_A)$
1	1	1	2	4	-1.07e+13
10	2	5	0.4	12	-0.037642
50	5	10	0.2	22	-0.029344
200	10	20	0.1	42	-0.028703
512	16	32	0.0625	66	-0.028580
1000	20	50	0.04	102	-0.028553
2048	32	64	0.03125	130	-0.028526
5000	50	100	0.02	202	-0.028517
12800	80	160	0.0125	322	-0.028513
20000	100	200	0.01	402	-0.028513

表 4 是收敛率的表格。

表 4 四边形网格应变值的收敛

<i>h</i>	$\log h$	u_h	$\ e_h\ _1 = \ u - u_h\ _1$	$\log \ e_h\ _1$
2	0.693147	-1.07e+13	1.07e+13	30.004756
0.4	-0.916291	-0.037642	0.009142	-4.694885
0.2	-1.609438	-0.029344	0.000844	-7.077751
0.1	-2.302585	-0.028703	0.000203	-8.503844
0.0625	-2.772589	-0.028580	0.000080	-9.429903
0.04	-3.218876	-0.028553	0.000053	-9.838587
0.03125	-3.465736	-0.028526	0.000026	-10.551512
0.02	-3.912023	-0.028517	0.000017	-10.996402
0.0125	-4.382027	-0.028513	0.000013	-11.227892
0.01	-4.605170	-0.028513	0.000013	-11.280608

如图 11，拟合函数，得到公式： $\log \|u - u_h\|_1 = -4.0964 + 1.7191 \log h$

k 取整数，得到： $k = 2$

因此： $\|u - u_h\|_1 \leq ch^2$

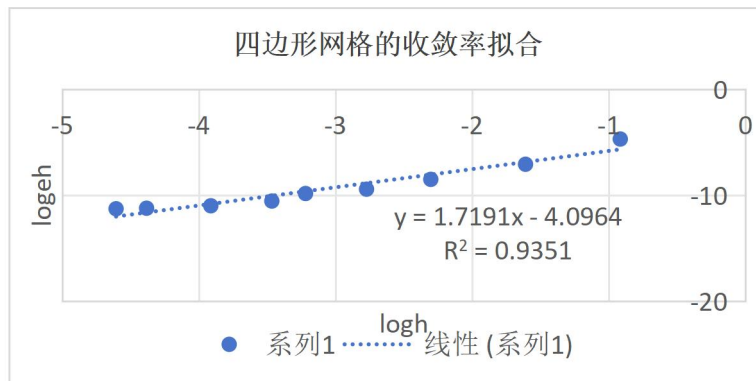


图 11 四边形网格的收敛率拟合

(c3) 对收敛率的讨论

三角形网格和四边形网格都反映了同样的规律：

①网格单元数量越多，网格单元大小越小，计算得到的应变与实际应变越接近。即：

$\lim_{h \rightarrow 0} \|u - u_h\|_1 = 0$ 。更能反映出实际变形，如图 12，分别是 40000 个网格单元的三角形网格，和 20000 个网格单元的三角形网格，能很好地反映梯形板的形变。

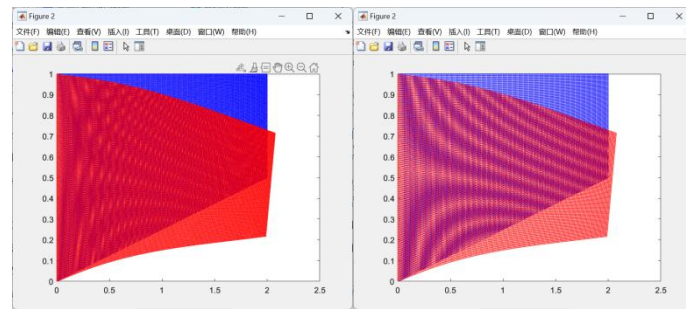


图 12 梯形板在大数量网格下绘制出的形变

②网格的收敛速度与网格单元大小的平方成正比，即： $\|u - u_h\|_1 \leq ch^2$ 。

之所以成平方关系，是因为本案例是平面问题。平面网格是二维的，网格单元面积正比于网格单元大小的平方，即： $Area \propto h^2$ 。因此相当于： $\|u - u_h\|_1 \leq c \cdot Area$ 。网格单元越小，计算得到的应变的误差越小。

③三角形网格的收敛是要快于四边形网格的。

若 k 不取整数，三角形网格拟合计算出的 $k_t = 1.8322$ ，四边形网格拟合计算出的 $k_q = 1.7191$ 。可见 $k_t > k_q$ ，三角形网格比四边形网格能更快地收敛。因为同一组结点，构建的网格单元为三角形时，面积更小，计算的精确程度更高，收敛更快。

(2) 与其它仿真软件的比较

首先使用 Solidworks 进行建模，输出 step 格式文件，如图 13。

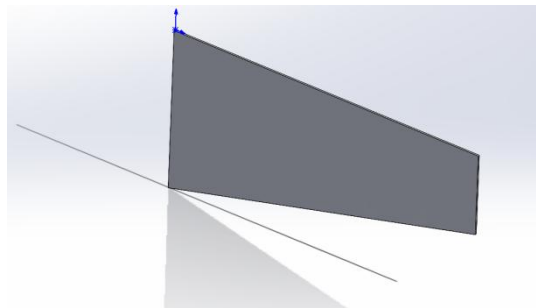


图 13 Solidworks 建模

打开 Comsol。导入 step 文件。网格选择超细化，选择“全部构建”，完整网格包含“79864”个域单元、52516 个边界单元和 952 个边单元。如图 14。

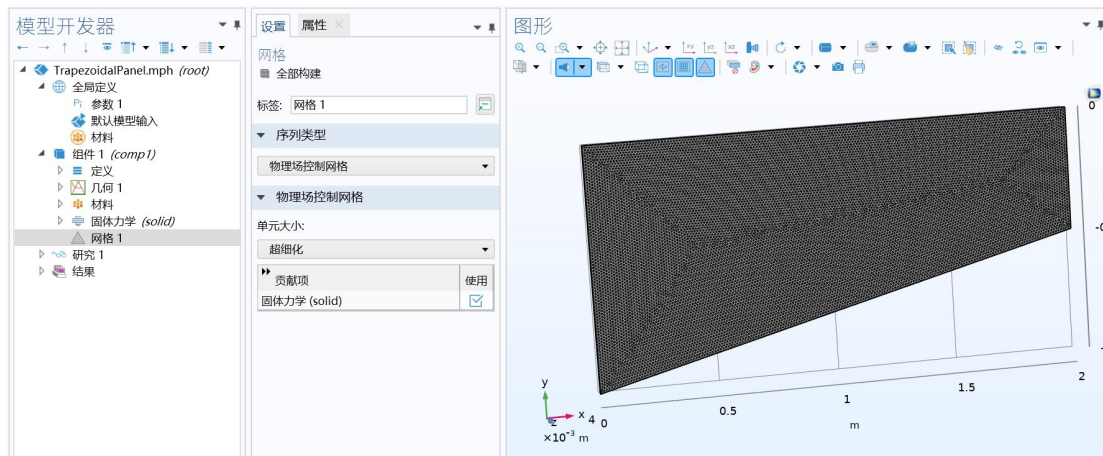


图 14 Comsol 构建网格

添加材料并定义材料属性。添加固体力学物理场的固定约束和边界载荷。添加研究，选择“稳态”。如图 15。



图 15 Comsol 定义材料和物理场

对研究右键点击，选择“计算”，生成结果。如图 16。

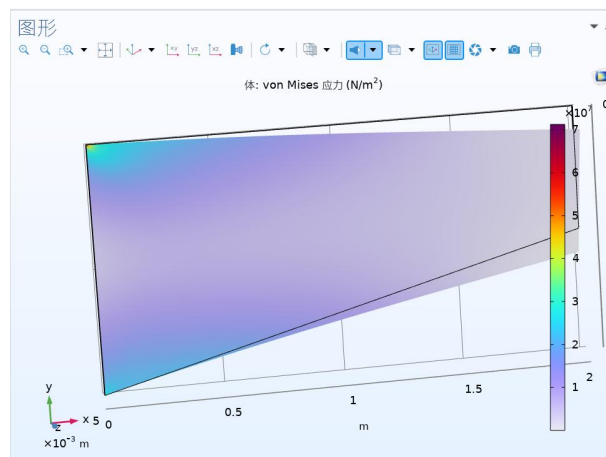


图 16 Comsol 绘制结果

可以获得如下结论：

- ①matlab 程序和 Comsol 仿真得到的形变结果和数值一致。
- ②Comsol 的仿真速度更快，可能的原因是额外进行了矩阵运算的优化。

四、总结展望

本案例充分展示了小变形非线性有限元问题的求解过程，通过 matlab 程序直接地了解了相关求解器的设计思路，颇有收获。